

聚变能源概论

高 喆

gaozhe@tsinghua.edu.cn

2022-23春季学期

第四讲：

聚变堆的功率平衡（稳态）

上节回顾

- 通常而言，束靶反应不能作为聚变能源的可行形式
- 需要热运动→**热核聚变**
- 需要细致考虑功率的得失相当，提出对等离子体体系的参数要求

上节回顾

- 聚变反应功率密度 $S_f = E_f n_1 n_2 \langle \sigma v \rangle = \frac{1}{4} n^2 \langle \sigma v \rangle E_f$
- 功率损失
 - 辐射 $S_B = \left(\frac{2^{1/2}}{3\pi^{5/2}} \right) \left(\frac{e^6}{\varepsilon_0^3 c^3 h m_e^{3/2}} \right) Z_{\text{eff}} n_e^2 T_e^{1/2} \text{ W/m}^3$
 - 传导 $S_\kappa = \frac{1}{V} \oint \mathbf{q} \cdot d\mathbf{S} = \frac{W}{\tau_E}$

聚变能源的条件

可以从两个层面考虑

- 聚变系统的稳态运行
- 聚变系统可以获得的净功率（更大的能源系统）

聚变能源的条件

可以从两个层面考虑

- 聚变系统的稳态运行

- ✓ 要求系统功率损失和功率输入应该平衡 【等式】

- 聚变系统可以获得的净功率（更大的能源系统）

- ✓ 系统输出的（有效）功率应该大于维持系统稳态运行所需的功率输入 【不等式】

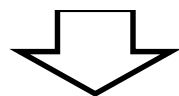
稳态零维功率平衡模型

研究对象：聚变燃料组分形成的等离子体

“稳态”：各种成分的燃料粒子均处于平衡态（即既达到力学平衡，也达到热力学平衡）。

“零维”：描述平衡的方程是一个标量方程（**体积平均**！）

$$\frac{3}{2} \frac{\partial p}{\partial t} + \frac{3}{2} \nabla \cdot p \mathbf{v} + p \nabla \cdot \mathbf{v} + \nabla \cdot \mathbf{q} = S$$



$$\frac{1}{V} \int \left[\frac{3}{2} \left(\frac{\partial p}{\partial t} + \nabla \cdot p \mathbf{v} \right) + p \nabla \cdot \mathbf{v} + \nabla \cdot \mathbf{q} - S \right] d\mathbf{r} = 0$$

稳态零维功率平衡模型

$$\frac{1}{V} \int \left[\frac{3}{2} \left(\frac{\partial p}{\partial t} + \nabla \cdot p \mathbf{v} \right) + p \nabla \cdot \mathbf{v} + \nabla \cdot \mathbf{q} - S \right] d\mathbf{r} = 0$$

$\frac{dW}{dt} = 0$ (稳态)

$-S_{\kappa}$

$-S_B + S_h$

稳态零维功率平衡模型

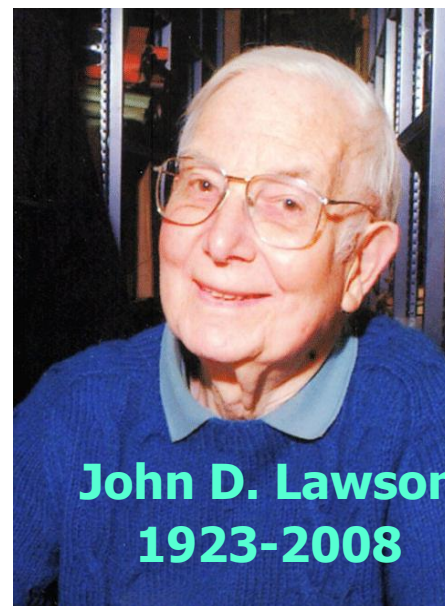
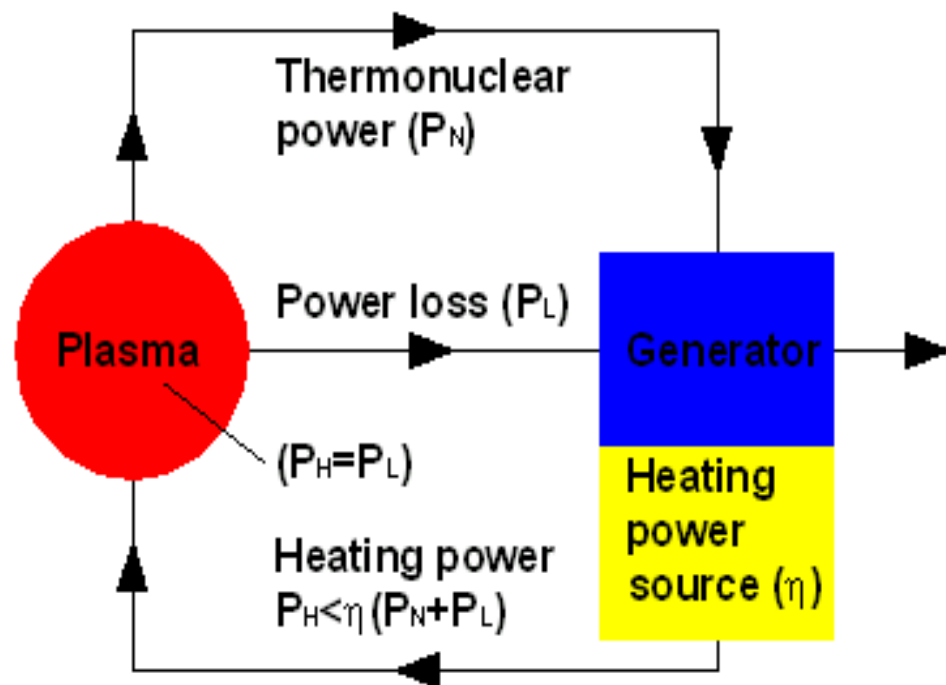
$$\frac{1}{V} \int \left[\frac{3}{2} \left(\frac{\partial p}{\partial t} + \nabla \cdot p \mathbf{v} \right) + p \nabla \cdot \mathbf{v} + \nabla \cdot \mathbf{q} - S \right] d\mathbf{r} = 0$$

$\frac{dW}{dt} = 0$ (稳态) \Downarrow $-S_\kappa$ $-S_B + S_h$

$$S_h = S_\kappa + S_B$$

$$S_h = k S_f + S_{h ext}$$

Lawson 判据 (1957) - 零功率堆判据



S_f 完全离开聚变体系

$$S_{out} = S_f + S_B + S_k$$

$$S_{out\,eff} = \eta(S_f + S_B + S_k)$$

$$S_h = S_k + S_B$$

$$\Rightarrow h(S_f + S_B + S_k) \geq S_B + S_k$$

J. D. Lawson, *Proc. Phys. Soc.* **B70**, 1957, 6

回顾聚变能源的条件

可以从两个层面考虑

- 聚变系统的稳态运行

✓ 要求系统功率损失和功率输入应该平衡 【等式】

$$S_{\kappa} + S_B = S_h$$

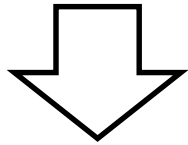
- 聚变系统可以获得的净功率（更大的能源系统）

✓ 系统输出的（有效）功率应该大于维持系统稳态运行所需的功率输入 【不等式】

$$\eta(S_f + S_B + S_{\kappa})$$

Lawson 判据 (1957)

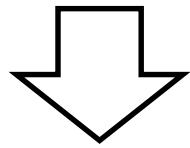
$$h \left(\frac{1}{4} n^2 \langle S v \rangle E_f + \frac{3n T}{t_E} + S_B \right) \geq \frac{3nT}{t_E} + S_B$$



$$n t_E^3 \frac{3T_e(1-h)}{h \frac{1}{4} \langle S v \rangle E_f - (1-h) \frac{S_B}{n^2}}$$

Lawson 判据 (1957)

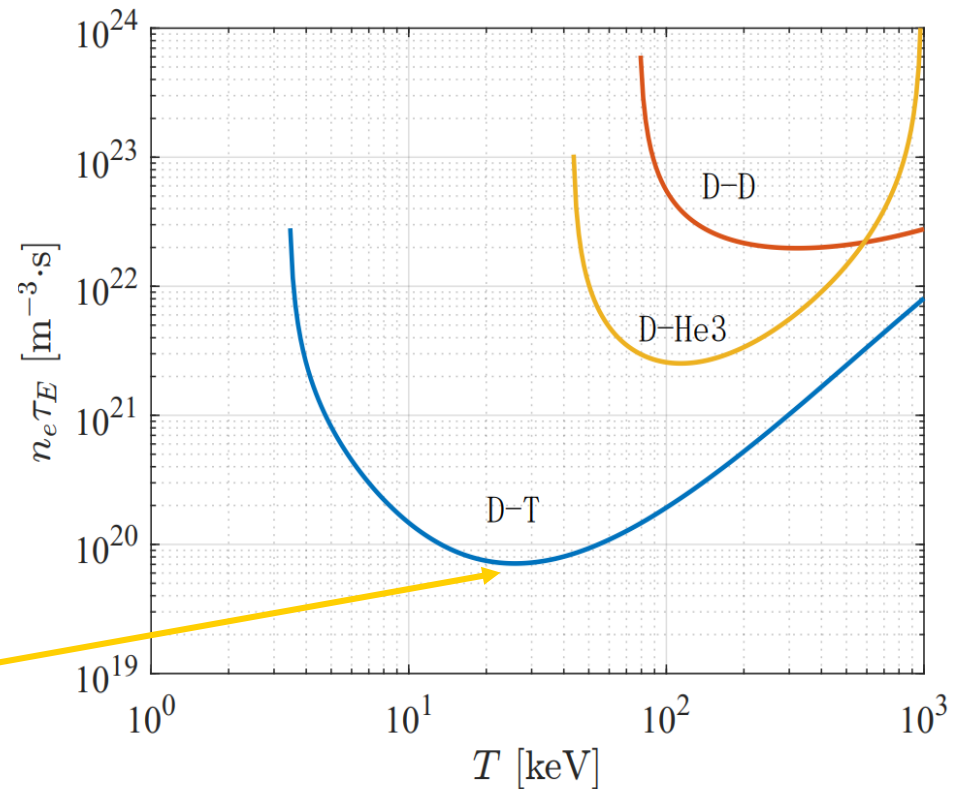
$$h \left(\frac{1}{4} n^2 \langle S v \rangle E_f + \frac{3n T}{t_E} + S_B \right) \geq \frac{3nT}{t_E} + S_B$$



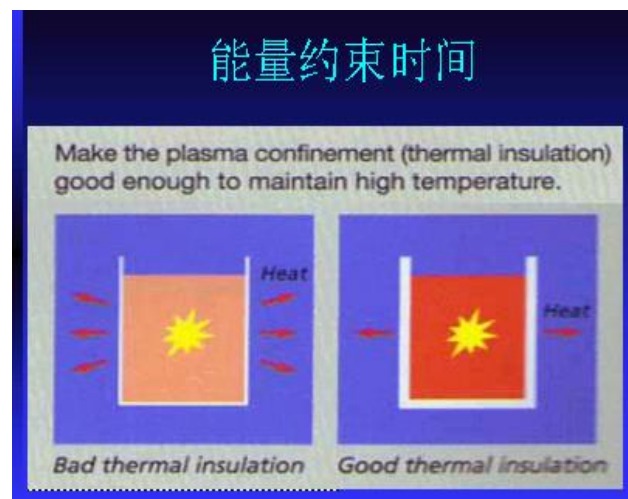
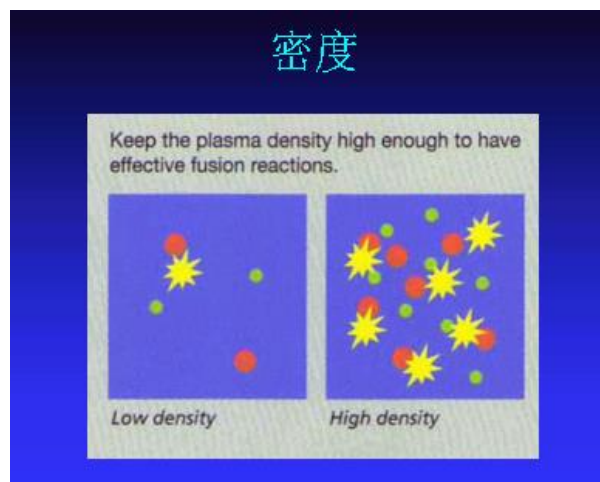
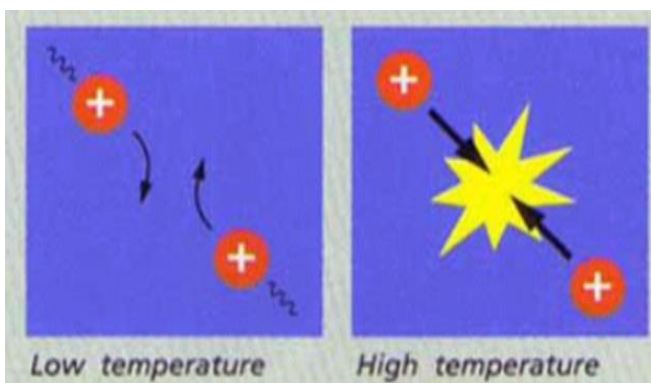
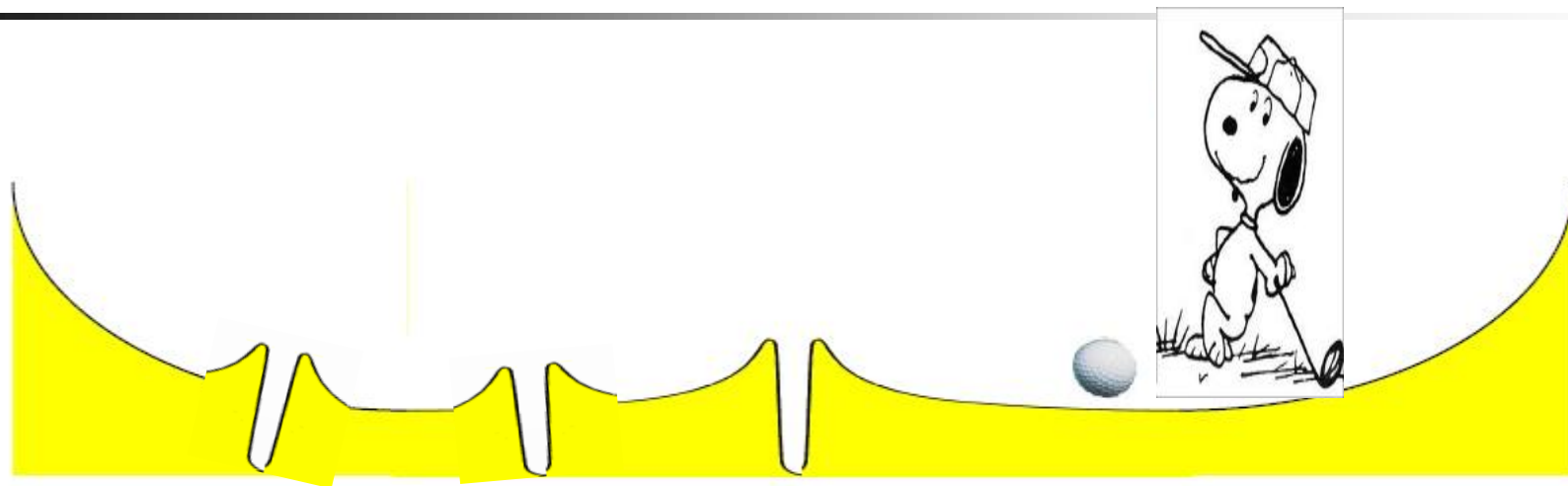
$$n t_E \geq \frac{3 T_e (1 - h)}{h \frac{1}{4} \langle S v \rangle E_f - (1 - h) \frac{S_B}{n^2}}$$

$$n_e \tau_E \geq 0.7 \times 10^{20} \text{ m}^{-3} \text{ s}$$

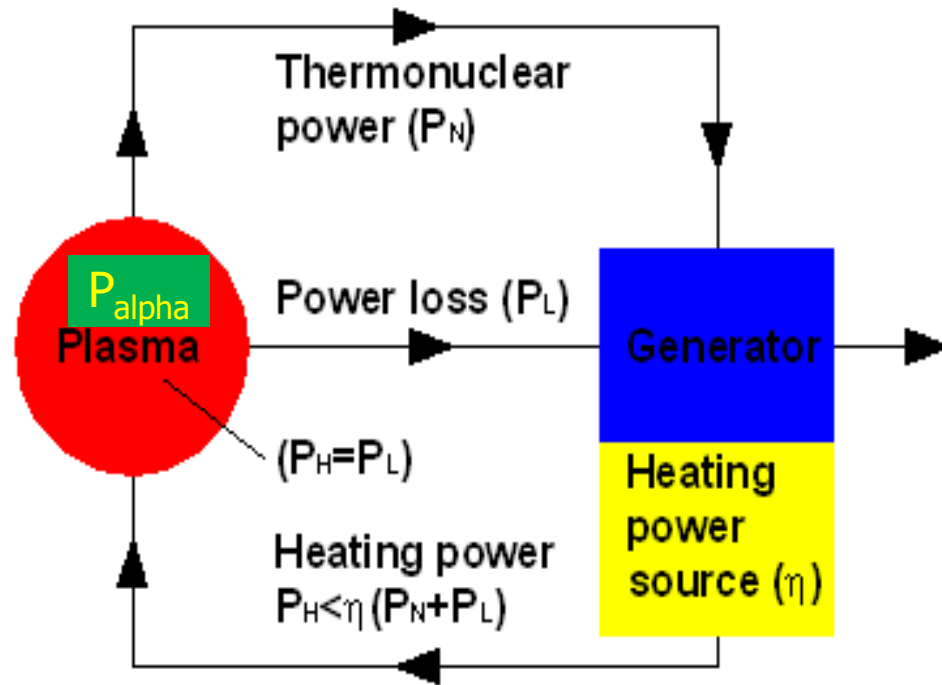
at $T_i \sim 20 \text{ keV}$



和基于简单图像的分析是吻合的



磁约束聚变中，考虑 α 粒子加热后的零功率堆判据 (修正的Lawson判据)

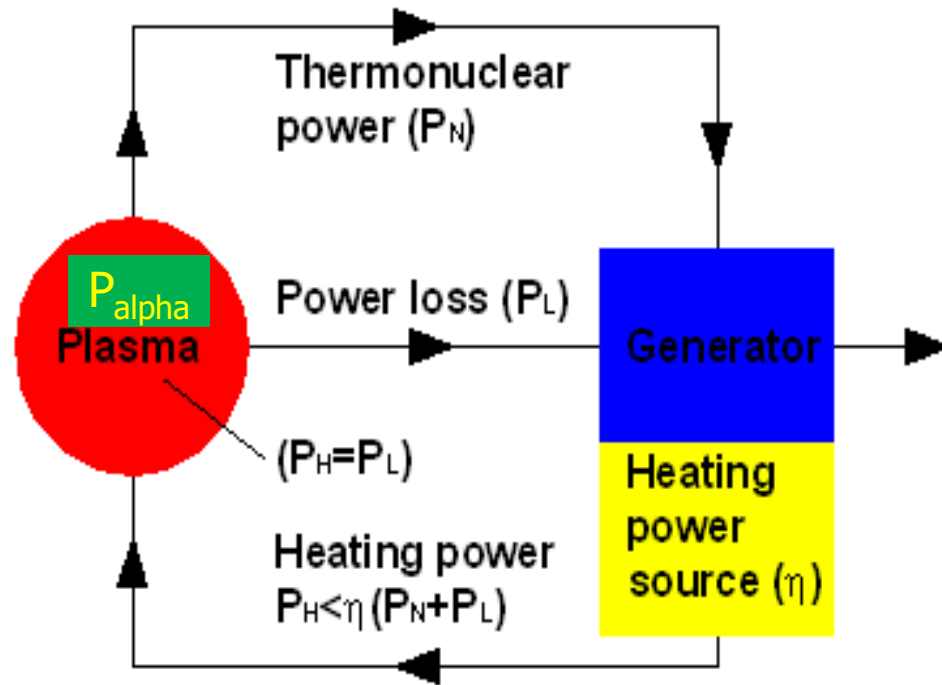


你认为考虑alpha粒子加热修正后的Lawson判据要求的 $n\tau_E$ 值比原有的判据

- ☐ A 更高
- ☒ B 更低
- ☐ C 更高或更低依赖于具体的效率

提交

磁约束聚变中，考虑 α 粒子加热后的零功率堆判据 (修正的Lawson判据)



$$S_{out\ eff} = \eta \left(\frac{4}{5} S_f + S_B + S_K \right)$$

$$S_{h\ ext} = S_K + S_B - \frac{1}{5} S_f$$

磁约束聚变中，考虑 α 粒子加热后的零功率堆判据 (修正的Lawson判据)

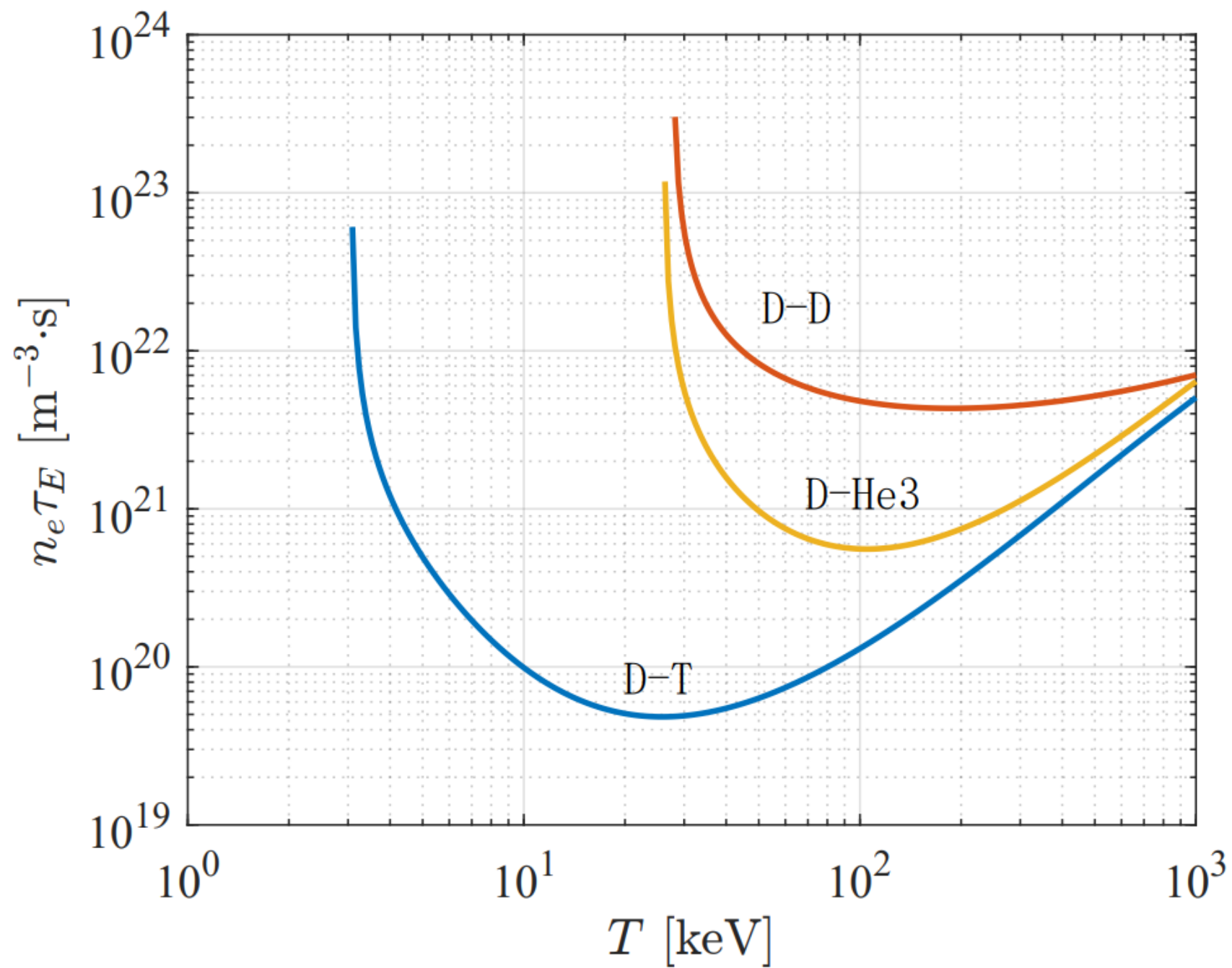
$$S_{out\,eff} = \eta \left(\frac{4}{5} S_f + S_B + S_K \right) \geq S_{h\,ext} = S_K + S_B - \frac{1}{5} S_f$$



$$\frac{1}{5} S_f + h \left(\frac{4}{5} S_f + \frac{3nT}{t_E} + S_B \right) \geq \frac{3nT}{t_E} + S_B$$

$$n_e \tau_E \geq \frac{3T(1-\eta)}{\frac{1}{4} \langle \sigma v \rangle_{DT} E_{DT} \left(\frac{1}{5} + \frac{4\eta}{5} \right) - \frac{1-\eta}{n_e^2} S_B}$$

略低于Lawson判据



点火（自持燃烧）条件

$$S_{h\ ext} = S_{\kappa} + S_B - \frac{1}{5} S_f = 0$$

是否能够达到 $S_{h\ ext}=0$ ，甚至，
alpha粒子的能量也不需要全部
留在体系内

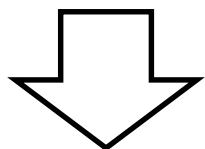
你认为考虑磁约束聚变点火条件要求的 $n\tau_E$ 值比原有Lawson判据要求的要

- ☒ A 更高
- ☐ B 更低
- ☐ C 更高或更低依赖于具体的效率

提交

点火（自持燃烧）条件

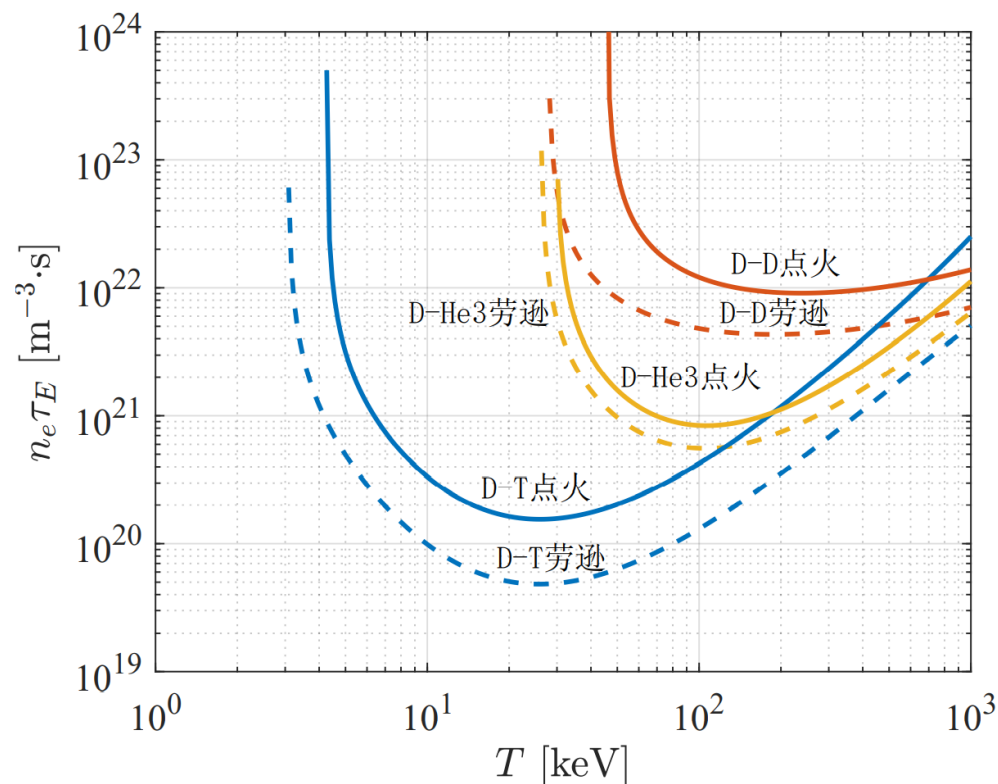
$$S_{h \text{ ext}} = S_{\kappa} + S_B - \frac{1}{5} S_f \leq 0$$



$$\frac{1}{5} S_{\text{DT}} \approx \frac{3n_e T}{t_E} + S_B$$

$$n t_E \approx \frac{3T}{\frac{1}{20} \langle S \nu \rangle_{\text{DT}} E_{\text{DT}} - \frac{S_B}{n^2}}$$

$$n t \gtrsim 1.5 \times 10^{20} \text{ m}^{-3} \text{ s}$$



点火（自持燃烧）条件的简化（1）

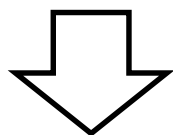
$$\frac{1}{5} S_{\text{DT}} \geq \cancel{\frac{3n_e T}{t_E}} + S_B$$

对密度和能量约束时间的限制将不再存在

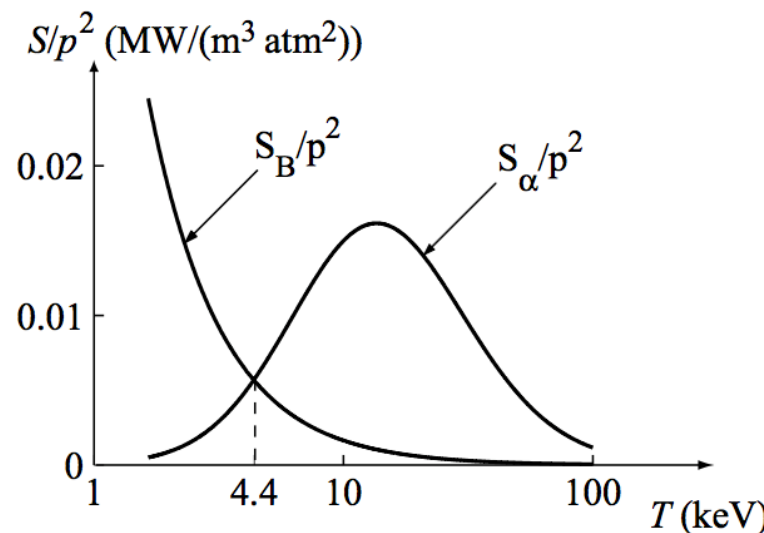
点火（自持燃烧）条件的简化（1）

$$\frac{1}{5} S_{DT} \geq \cancel{\frac{3n_e T}{t_E}} + S_B$$

$$\frac{1}{20} n^2 \langle \sigma v \rangle E_{DT} \geq 1.625 \times 10^{-38} n^2 Z_{eff}^2 \sqrt{T[\text{eV}]}$$



$$T \geq 4.4 \text{ keV}$$



理想点火条件：给出聚变等离子体工作温度的下限

点火（自持燃烧）条件的简化（2）

$$\frac{1}{5} S_{\text{DT}} \geq \frac{3n_e T}{t_E} + S_B$$

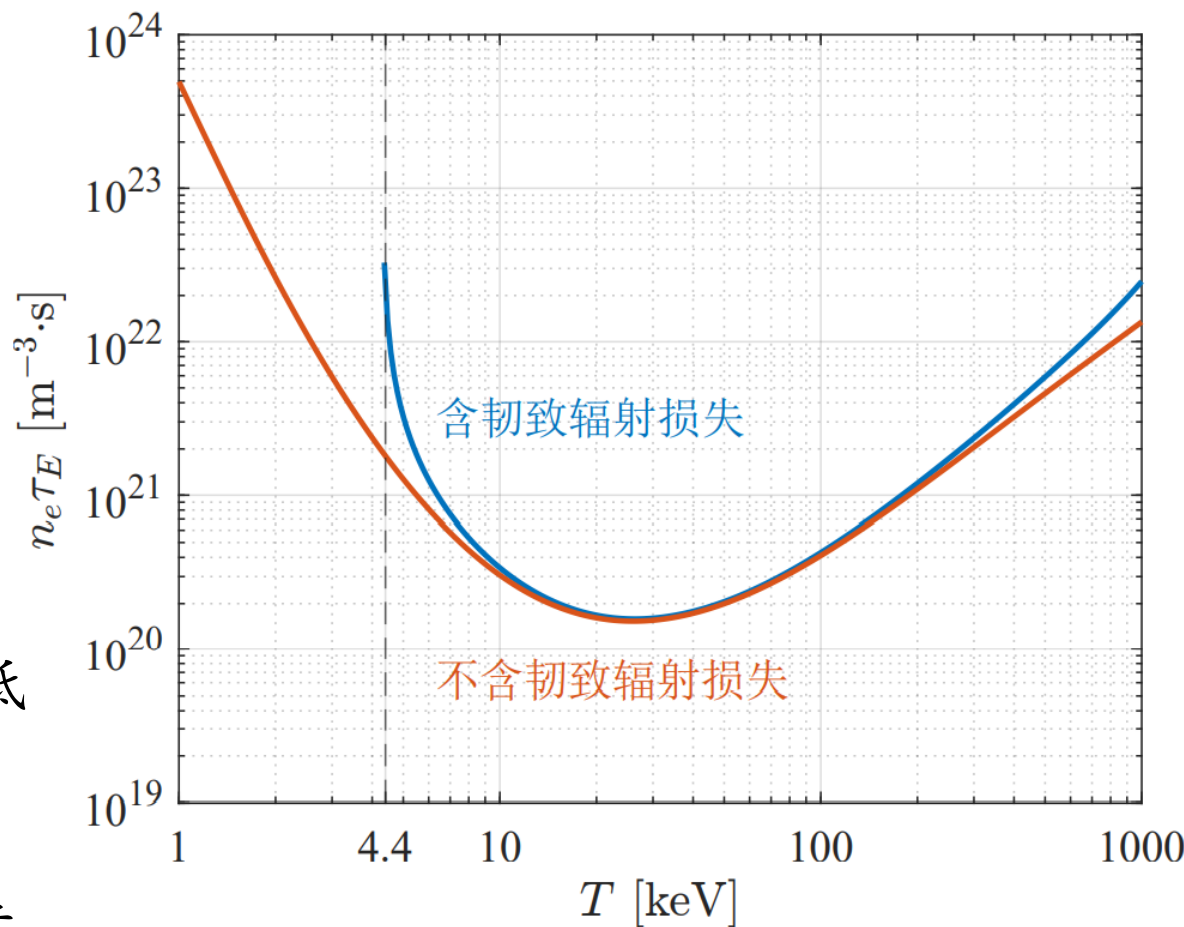
点火（自持燃烧）条件的简化（2）

$$\frac{1}{5} S_{\text{DT}} \geq \frac{3n_e T}{t_E} + S_B$$

$$n t_E \geq \frac{3T}{\frac{1}{20} \langle S v \rangle_{\text{DT}} E_{\text{DT}} - \frac{S_B}{n^2}}$$

和点火条件相比， $n\tau_E$ 最小值基本不变，而只是在温度较低的区间降低了要求

原因：韧致辐射随温度增长呈平方根关系，弱于聚变功率热传导损失随温度增长而增长的速率



点火（自持燃烧）条件的简化（2）

$$\frac{1}{5} S_{\text{DT}} \geq \frac{3n_e T}{t_E} + S_B$$

$$n t_E \geq \frac{3T}{\frac{1}{20} \langle S \nu \rangle_{\text{DT}} E_{\text{DT}} - \frac{S_B}{n^2}}$$

当温度处于 10–20 keV 时

$$\langle S \nu \rangle \gg 1.1 \times 10^{-30} T^2 \quad [\text{m}^3 \text{s}^{-1}], \quad T \text{ in eV}$$

$$n T t_E \geq \frac{3T^2}{\frac{1}{20} \langle S \nu \rangle_{\text{DT}} E_{\text{DT}}} \sim 3 \times 10^{21} \text{ keV m}^{-3} \text{ s}$$

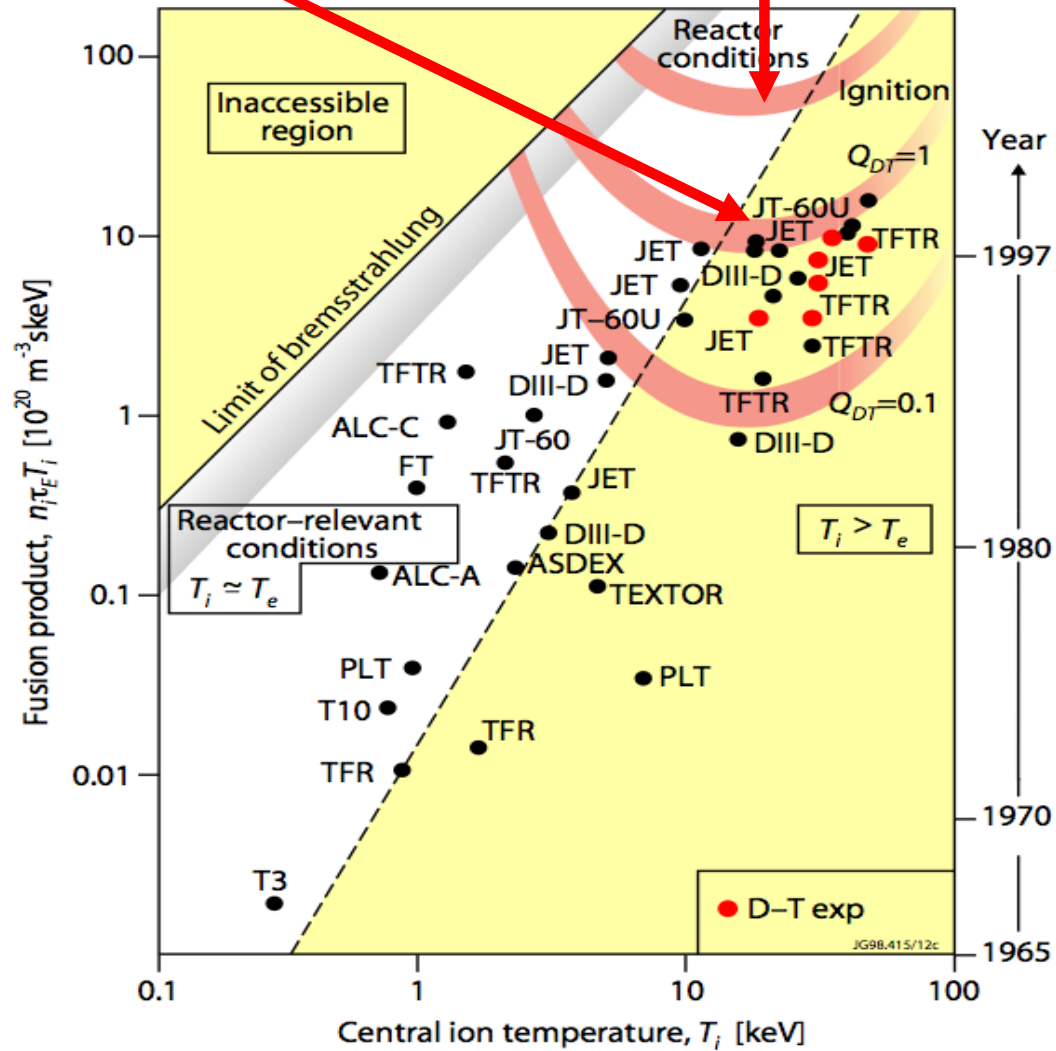
$\sim 8 \text{ atm s}$

三乘积 Triple Product
聚变物理研究进展的标志

应当指出，上述公式是针对平坦分布的，如果密度、温度均取抛物线分布（更接近实际），则峰值处点火条件稍高，但在同一量级。

**ITER
Ignition**

Break Even



能量增益

- 之前的讨论总体上基于维持聚变体系持续运行的角度考虑；现在换个角度，从最后得到的净功率来考虑
- （热功率）物理增益因子Q

$$Q = \frac{\text{net thermal power out}}{\text{heating power in}} = \frac{P_{\text{out}} - P_{\text{in}}}{P_{\text{in}}}$$

几个判据下的物理增益因子Q

- 劳逊判据下：
$$S_{out} = S_f + S_B + S_\kappa$$
$$S_{in} = S_h = S_{h\ ext} = S_B + S_\kappa$$
$$Q = \frac{S_{out} - S_{in}}{S_{in}} = \frac{S_f}{S_{h\ ext}} \sim 3$$

几个判据下的物理增益因子Q

- 劳逊判据下：
$$S_{out} = S_f + S_B + S_\kappa$$
$$S_{in} = S_h = S_{h\ ext} = S_B + S_\kappa$$
$$Q = \frac{S_{out} - S_{in}}{S_{in}} = \frac{S_f}{S_{h\ ext}} \sim 3$$

- 修正的劳逊判据下：

$$S_{out} = \frac{4}{5} S_f + S_B + S_\kappa$$
$$S_{in} = S_{h\ ext} = S_B + S_\kappa - \frac{1}{5} S_f$$
$$Q = \frac{S_{out} - S_{in}}{S_{in}} = \frac{S_f}{S_{h\ ext}}$$

几个判据下的物理增益因子Q

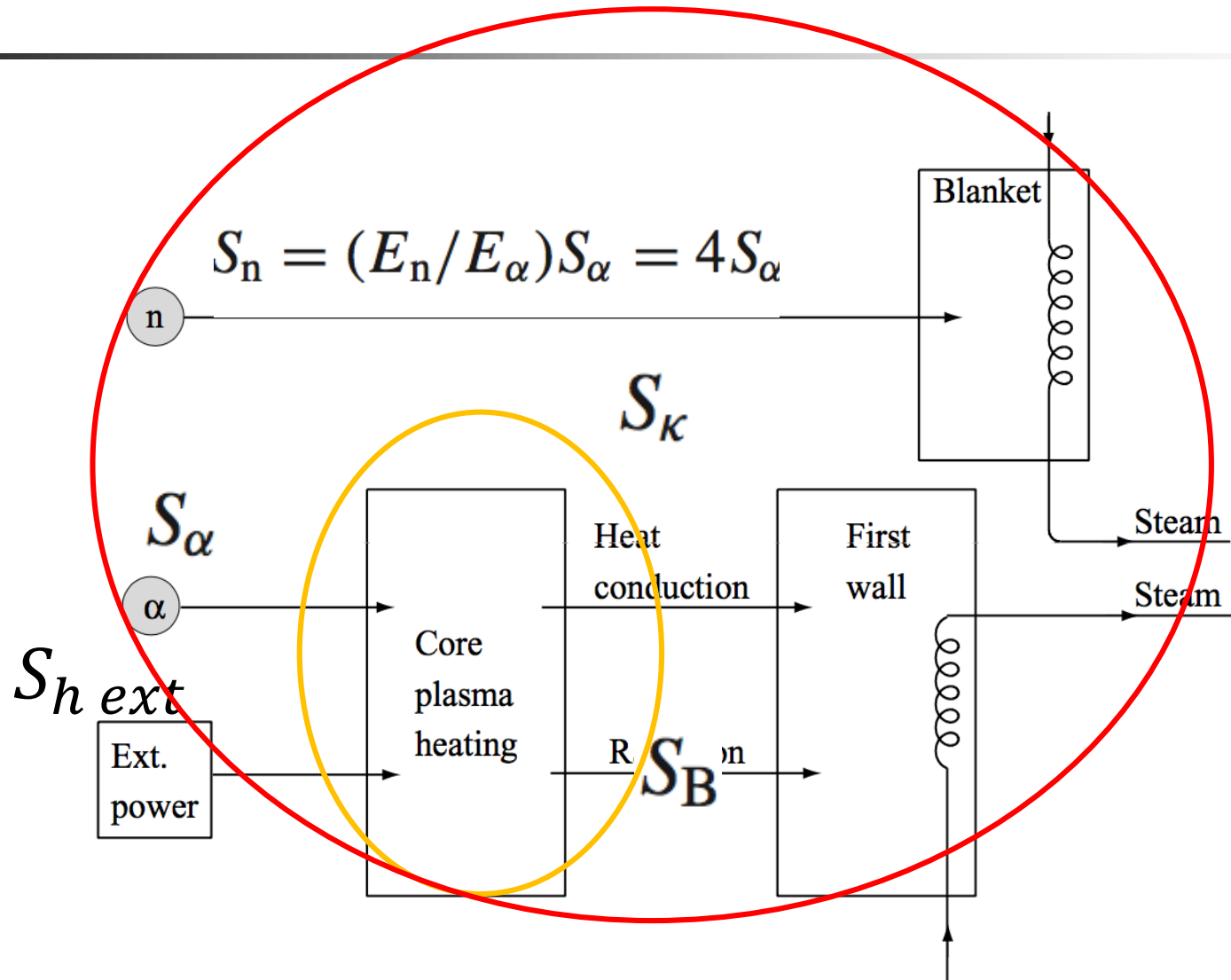
- 劳逊判据下：
$$S_{out} = S_f + S_B + S_\kappa$$
$$S_{in} = S_h = S_{h\ ext} = S_B + S_\kappa$$
$$Q = \frac{S_{out} - S_{in}}{S_{in}} = \frac{S_f}{S_{h\ ext}} \sim 3$$

- 修正的劳逊判据下：

$$S_{out} = \frac{4}{5} S_f + S_B + S_\kappa$$
$$Q = \frac{S_{out} - S_{in}}{S_{in}} = \frac{S_f}{S_{h\ ext}}$$
$$S_{in} = S_{h\ ext} = S_B + S_\kappa - \frac{1}{5} S_f$$

- 点火条件下：

$$S_{out} = \frac{4}{5} S_f + S_B + S_\kappa$$
$$Q = \frac{S_f}{S_{h\ ext}} = +\infty$$
$$S_{in} = S_{h\ ext} = S_B + S_\kappa - \frac{1}{5} S_f = 0$$



物理增益因子Q

$$Q = \frac{S_f}{S_{h \text{ ext}}}$$

- 对于磁约束聚变， $S_{h \text{ ext}}$ 为外部注入的加热功率（如微波或中性束加热功率）
- 对于激光聚变， $S_{h \text{ ext}}$ 为外部注入的激光功率
- 这也是被国际聚变届所公认的Q的定义。

物理增益因子Q

$$Q = \frac{S_f}{S_{h \text{ ext}}}$$

- 对于磁约束聚变， $S_{h \text{ ext}}$ 为外部注入的加热功率（如微波或中性束加热功率）
- 对于激光聚变， $S_{h \text{ ext}}$ 为外部注入的激光功率
- 这也是被国际聚变届所公认的Q的定义

$$\text{令 } F = nT\tau_E, F_I = (nT\tau_E)_{\text{Ignition}}, \quad Q = \frac{5F}{F_I - F}$$

无聚变反应时， $Q=0$ ；点火条件下， $Q=\infty$

聚变等离子体的功率平衡→聚变电站功率平衡

- 物理增益因子 Q

$$Q = \frac{\text{net thermal power out}}{\text{heating power in}} = \frac{P_{\text{out}} - P_{\text{in}}}{P_{\text{in}}}$$

- 工程增益因子 Q_E

$$Q_E = \frac{\text{net electric power out}}{\text{electric power in}}$$

一个简化的考虑

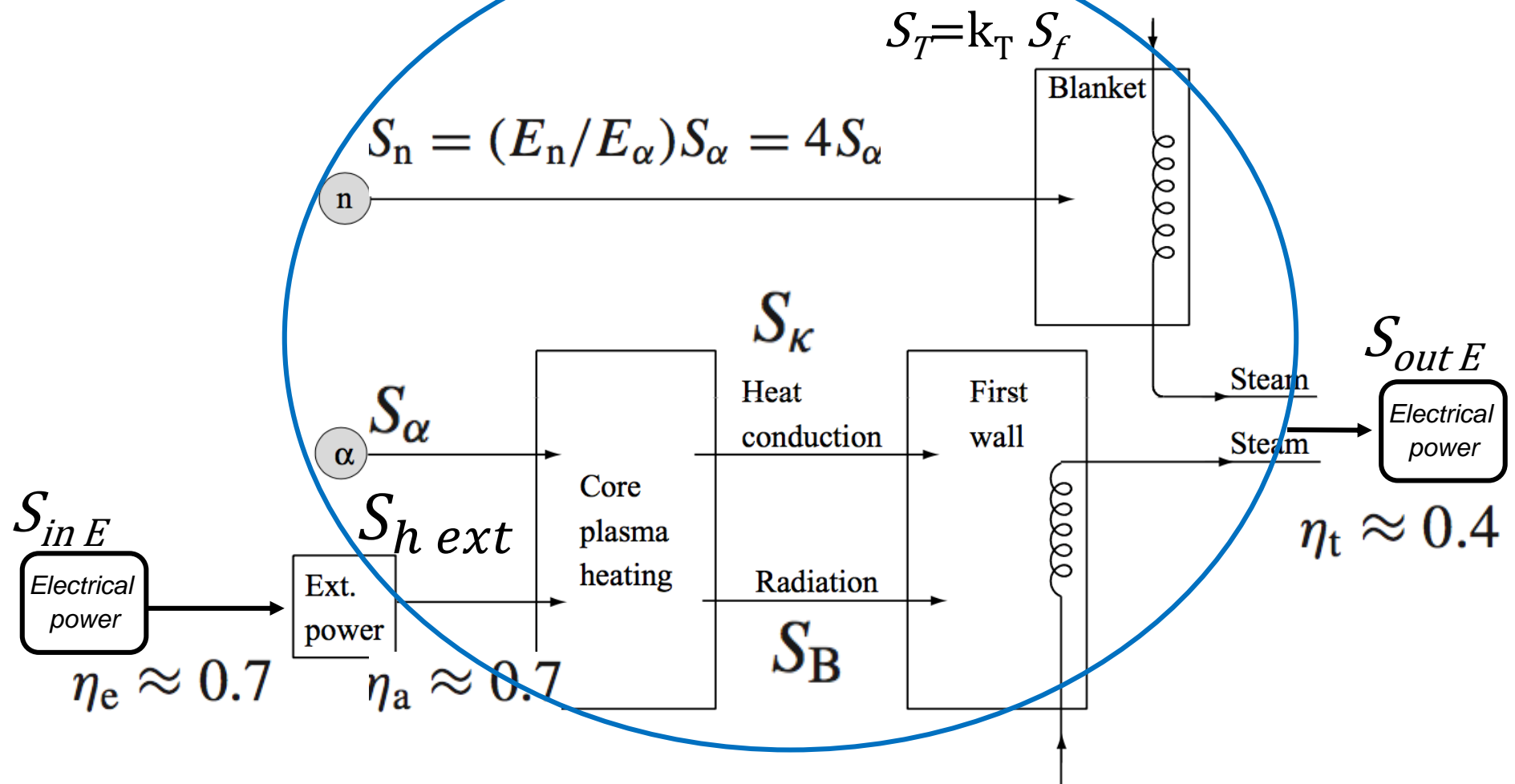
$$S_{out\ E} = \eta S_{out\ eff} = \eta(S_f + S_B + S_\kappa)$$

$$S_{in\ E} = S_{h\ ext} = S_B + S_\kappa$$

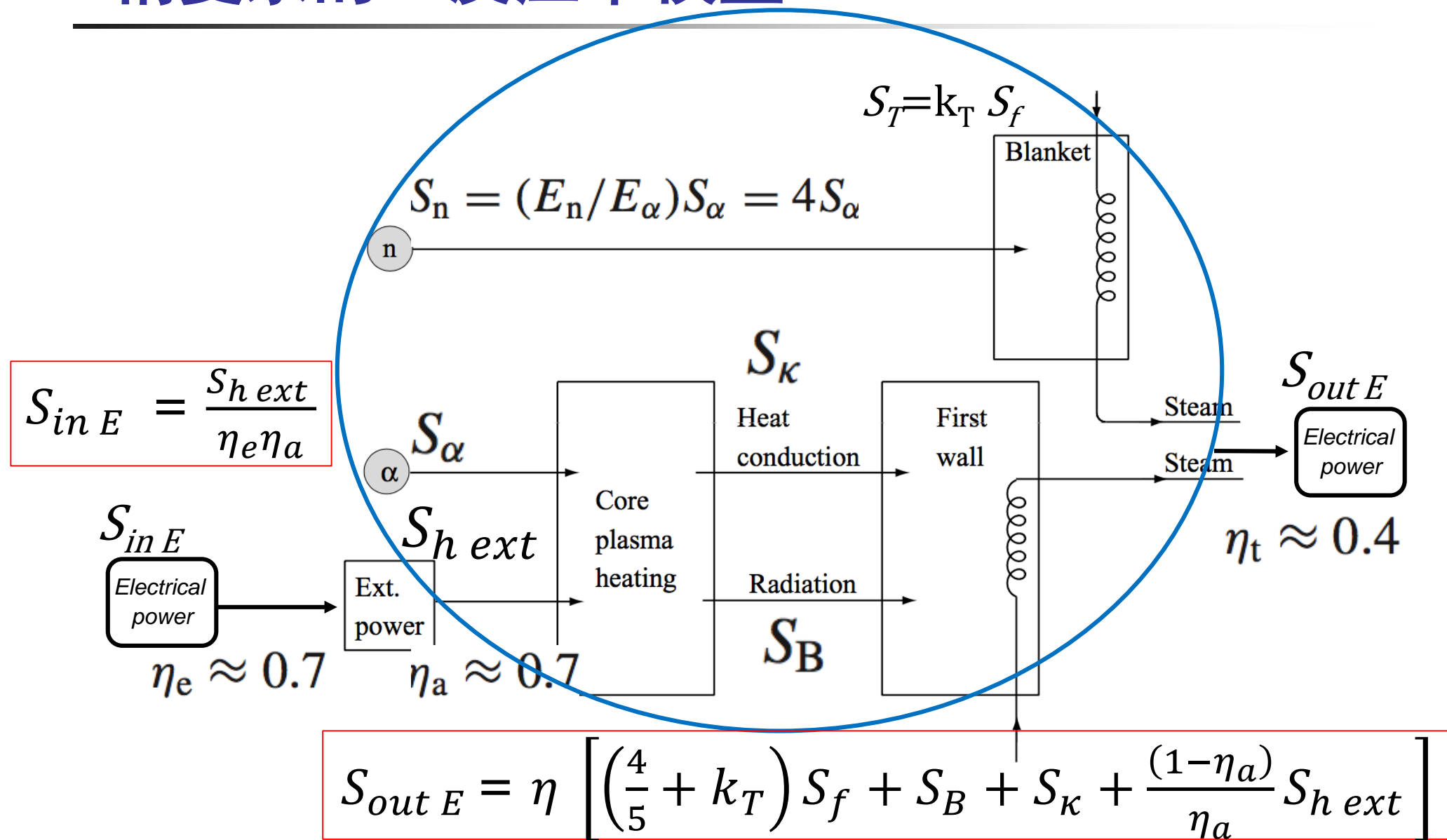
$$Q_E = \frac{S_{out\ E} - S_{in\ E}}{S_{in\ E}} = 0 \quad (\text{劳逊判据})$$

这也是劳逊判据被称为零功率堆判据的原因

稍复杂的DT反应堆模型



稍复杂的DT反应堆模型



$$S_{in E} = \frac{S_{h ext}}{\eta_e \eta_a}$$

$$S_{out E} = \eta \left[\left(\frac{4}{5} + k_T \right) S_f + S_B + S_{\kappa} + \frac{(1-\eta_a)}{\eta_a} S_{h ext} \right]$$

$$Q_E = \frac{\eta \eta_e \eta_a [(4/5 + k_T) S_f + S_B + S_{\kappa}] - [1 - (1 - \eta_a) \eta \eta_e] S_{h ext}}{S_{h ext}}$$

将点火条件 $S_{h ext} = S_B + S_{\kappa} - S_f/5$ 代入，并令 $k_T = E_T/E_n = 0.27$

$$Q_E = \frac{(6.4 \eta \eta_e \eta_a + 1 - \eta \eta_e) F - (1 - \eta \eta_e) F_I}{F_I - F} \approx \frac{2F - 0.72 F_I}{F_I - F}$$

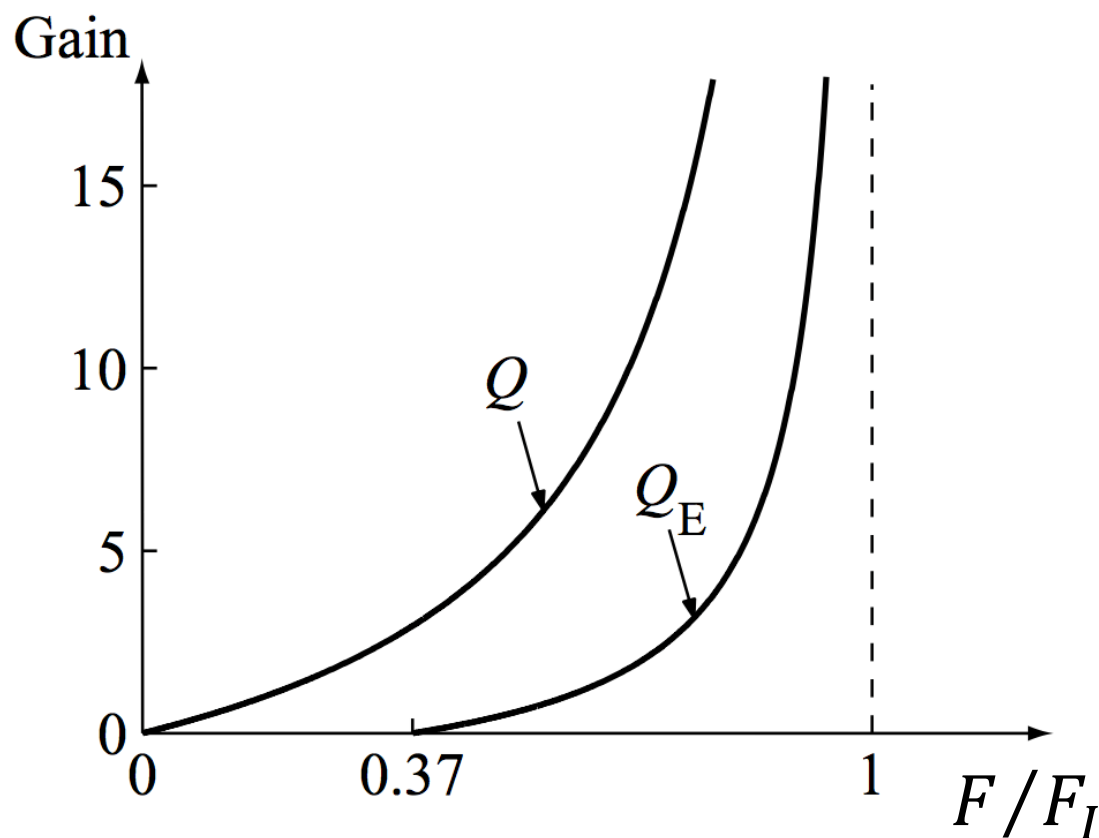
典型效率： $\eta = 0.4$ ， $\eta_e = 0.7$ ， $\eta_a = 0.7$

聚变等离子体的功率平衡→聚变电站功率平衡

- 物理增益因子 Q
- 工程增益因子 Q_E

$$Q = \frac{5F}{F_I - F}$$

$$Q_E \approx \frac{2F - 0.72F_I}{F_I - F}$$



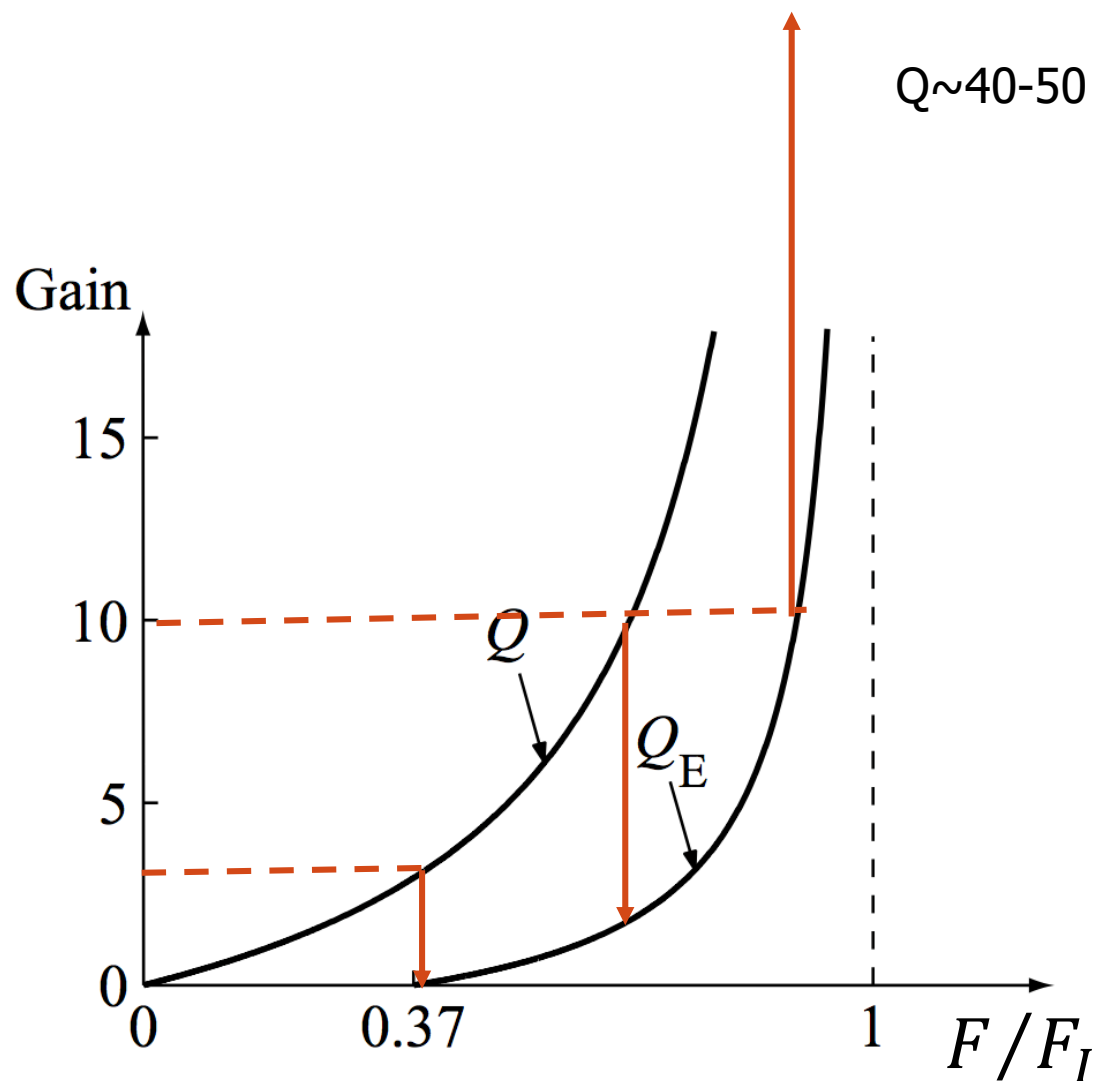
聚变等离子体的功率平衡→聚变电站功率平衡

- 物理增益因子 Q
- 工程增益因子 Q_E

$$Q = \frac{5F}{F_I - F}$$

$$Q_E \approx \frac{2F - 0.72F_I}{F_I - F}$$

$$Q_E \approx \frac{Q}{4} - 0.72$$



作业(网络学堂)

- 1. 不同的热电效率对应不同的劳逊判据，请分别画出 $\eta = 0.3$ 和 0.5 时 $n\tau_E$ 对 T 的曲线，并在同一个图中画出点火条件，说明点火条件相当于 η 等于多少时的劳逊判据。
- 2. 对于不含催化反应的D-D聚变和完全催化的D-D聚变反应，分别计算其点火条件。
- 3. 假定alpha粒子功率只有一小部分能量份额 k 沉积在等离子体中，其余的 $1 - k$ 流向第一壁并转化为热量。不计氚增值产生的热量，在典型效率： $\eta = 0.4$ ， $\eta_e = 0.7$ ， $\eta_a = 0.7$ 下，推导工程增益因子 Q_E 与 k 及等离子体参数 $nT\tau_E$ 的解析关系式，并分别画出 $k=0, 0.5, 1$ 时 Q_E 对 $nT\tau_E$ 的曲线。